を Eco-Environmental Knowledge Web



**ENVIRONMENTAL SCIENCE** 

ISSN 0250-3301 CODEN HCKHDV HUANJING KEXUE

- 主办 中国科学院生态环境研究中心
- ■出版斜学出版社





2020

Vol.41 No.1 第41卷 第1期

### ENVIRONMENTAL SCIENCE

第41卷 第1期 2020年1月15日

### 目 次

近 20 年来中国 PM <sub>2.5</sub> 污染演变的时空过程	<b></b> ,	1 )
2007~2016年上海颗粒物浓度特征与气候背景异同分析····································	忠(1	.4 )
—————————————————————————————————————	-华(2	23 )
呼包鄂地区冬季、夏季 PM_。污染特征	广(3	31 )
2019 年元旦前后石家庄市重污染过程 PM <sub>2.5</sub> 污染特征及来源解析 周静博,段菁春,王建国,杨鹏,刘焕武,李梅,苇	f伟(3	39 )
2019 年元旦前后石家庄市重污染过程 $PM_{2.5}$ 污染特征及来源解析	[博(5	50 )
北尔印 PM <sub>2.5</sub> 中岬行架行住	č応( ) f 鮪( 6	)/ ) 55 )
安阳市大气 PM。中水溶性离子季节特征及来源解析 ····································	詩 ( 7	75 )
安阳市大气 $PM_{2.5}$ 中水溶性离子季节特征及来源解析 ····································	•••	- /
	-锐(8	32.)
基于颗粒物化学组分粒径分布特征的源解析方法构建与评估	とり(9- 郷(0	)() )()
京津冀地区城市皇氧污染趋势及原因探讨	・雁( 9 「霞( 10	76 ) 06 )
安阳市近地面臭氧污染特征及气象影响因素分析 杨健, 尹沙沙, 于世杰, 王丽娟, 张瑞芹, 郝建尤, 苏方成, 齐邦	2杰(1)	15 )
长江三角洲 2017 年机动车 IVOCs 排放清单构建及其对 SOA 的牛成影响 ········· 王倩,黄凌,王杨君,殷司住,张琪,易鑫,李	≦莉 (12	25)
华东典型城市非道路移动机械排气烟度	成(13	33 )
国内外储油库 VOCs 排放现状与标准分析 ····································	i 在 ( 1;	39 )
四乙基思创个前被相·OT和代 SOA) 华及特征分别:初始接到影响 · · · 庄丽,陈彦ル,李旭东,马师师,赵竹寸,竹沿连,盖蚕乌鞘岭南、北坡降水稳定同位素特征及水汽来源对比 · · · · · · · · 徐秀婷,贾文雄,朱国锋,马兴刚,张昱,袁瑞丰,张志远,不		
长江源多年冻土区地下水氢氧稳定同位素特征及其影响因素	••••	
	珊(16	66 )
巴尔喀什湖流域水化学和同位素空间分布及环境特征 ········· 沈贝贝,吴敬禄,吉力力·阿不都外力,A.S. Saparov, Gulnura Isan	ova ( 17	73 )
城市湖泊水环境整治对改善水质的影响:以蠡湖近30年水质变化为例 ····································		02 \
典型药物及个人护理品在黄东海海域水体中的检测、分布规律及其风险评估	- yī(10 	83 ) 94 )
长江南京段水源水中有机磷酸酯的污染特征与风险评估 李栋、张圣虎、张芹、王博、卜元卿、赵欣、李辉、宋宁慧、郭琦		
雄安新区-白洋淀冬季冰封期水体溶解性有机物的空间分布、光谱特征及来源解析		
一一一一一一一一一一一一一一一一一一一一一一一一一一一一一一一一一一一一一	函(2)	13 )
白洋淀表层沉积物元素的空间特征、风险评价及来源分析		
都阳湖湖口-长江段沉积物中微塑料与重金属污染物的赋存关系 ············ 李文华,简敏菲,刘淑丽,江玉梅,邓艳彬,身		
臭氧对生物活性炭中微生物及出水消毒副产物的影响 刘宝明,王夕希,张晓夏,顾艳芳,李雨平,阮文权,缪恒锋,清	杨(25	53 )
兰州市西固区儿童饮用水重金属暴露及健康风险精细化评估 … 陈月芳,孙善伟,段小丽,许锦荣,王娟,康艺瑾,梁为纲,曹素	珍(26	62)
镁铁层状双金属氢氧化物对磷酸盐的吸附作用及对内源磷释放的控制效果及机制	 1 = 11 / 04	70.)
是依然人,我是有人的人,所以不可以不可以不可以不可以不可以不可以不可以不可以不可以不可以不可以不可以不可以	1 功( 2 <i>i</i> 3 伏 ( 29	73 ) 84 )
酸碱复合改性海泡石亚结构特征及其对 Cd(Ⅱ)吸附性能 ····································	1兵(29	93 )
脱氮菌剂在低溶解氧黑臭水体中氮代谢特征 赵志瑞,刘硕,李铎,李海萍,李方红,张佳瑶,白志	辉(30	04 )
宏基因组方法分析医药化工废水厂中抗生素耐药菌及耐性基因 陈红玲,张兴桃,王晴,姚清	i琳(3)	13 )
优仍效外是经外先上的任何规则做上物价格和特殊多价任力划		
基于 SBR-ABR 实现 PN-SAD 耦合工艺的运行与优化调控 ················ 陈重军,张敏,姜滢,郭萌蕾,谢嘉玮,谢军祥,沈料	B H / 00	20 \
基于间歇饥饿的 SNAD 工艺运行 ************************************	法杰 ( 3.	37 )
基于 SBR-ABR 实现 PN-SAD 稱行工之的运行与优化调控 除里车,张敏、委定、郭明雷、谢嘉玮、谢车祥、沈州基于间歇饥饿的 SNAD 工艺运行 李冬,刘志诚,徐贵达,王玉颖,引反硝化高效部分亚硝化-厌氧氨氧化工艺处理老龄垃圾渗滤液		
所小珍,汪晓军,Karasuta Chayangkun,周松伟,钟中,陈振国,陈明确化微颗粒污泥快速培养及其亚硝化功能快速实现。	坤(34	45 )
明化似颗粒污泥快速培养及具业明化功能快速头现	≟艮( 5: ∠浩( 3:	5 <i>3</i> )
中国东北沈抚地区土壤中 PBDEs 的残留、来源及风险评价 ······· 向鑫鑫,鲁垠涛,阮起炀,赖偲,孙绍斌,姚宏,张昌	. 胜(36	68 )
- 某焦化场地非均质包气带中多环芳烃(PAHs)来源及垂向分布特征 ·············· 孟祥帅,吴萌萌,陈鸿汉,岳希,陶书	产远 ( 37	77 )
北京蔬菜地土壤中抗生素抗性基因与可移动元件的分布特征 张汝凤,宋渊,高浩泽,程首涛,孙艳梅,王旭	明(38	85 )
长期施肥和耕作下紫色土坡耕地土壤 C、N、P 和 K 化学计量特征 杜映妮, 李天阳, 何丙辉, 贺小容, 行 亚热带稻田土壤碳氮磷生态化学计量学特征 宋佳龄, 盛浩, 周萍, 段良霞, 周清, 张材	「芭(39 5班(4	94 )
亚黑布相口工块碱氮瞬生芯化子月里子行证 宛山荡农田土壤氮迁移过程反硝化与厌氧氨氧化 ···································	1外(40	03 ) .12 )
秸秆炭化还田对滴灌棉田土壤微生物代谢功能及细菌群落组成的影响 王晶,马丽娟,龙泽华,闵伟,侯捐	安(42	20)
基于 PMF 模型的九龙江流域农田土壤重金属来源解析 ······ 黄华斌, 林承奇, 胡恭任, 于瑞莲, 郝春莉, 陈林	八桦 (43	30)
塔里木盆地东南缘绿洲区土壤砷空间分布及农作物砷富集特征 ········· 陈云飞,周金龙,曾妍妍,王松涛,杜江岩,孙英,顾思	博(43	38 )
广西典型碳酸盐岩区农田土壤-作物系统重金属生物有效性及迁移富集特征	··· ·新 / /	40 )
不同钝化剂对微碱性土壤镉、镍形态及小麦吸收的影响 张静静,朱爽阁,朱利楠,柳海涛,杨金康,化党		
不同钝化剂对鸡粪堆肥重金属钝化效果及其腐熟度指标的影响 栾润宇、高珊、徐应明、纪艺凝、闫翠侠、孙约	1兵 (46	69 )
黄土丘陵区退耕草地土壤呼吸及其组分对氮磷添加的响应 ···········周俊杰,陈志飞,杨全,赖帅彬,王智,徐烁炉渣与生物炭施加对福州平原水稻田温室气体排放的后续影响 ····································	成 (47	79 )
炉渣与生物炭施加对福州半原水稻田温室气体排放的后续影响 ············· 蓝兴福,王晓彤,周雅心,金强,许旭萍,王维《水岭利学》至江中南(20)。 《水岭村学》在琼筝剧(22)。 信息(202,220,24)	音 (48	89 )
《环境科学》征订启事(89) 《环境科学》征稿简则(97) 信息(303,329,344)		



# 不同钝化剂对鸡粪堆肥重金属钝化效果及其腐熟度指 标的影响

栾润宇<sup>1,2</sup>, 高珊<sup>1,2</sup>, 徐应明<sup>2</sup>, 纪艺凝<sup>1,2</sup>, 闫翠侠<sup>2,3</sup>, 孙约兵<sup>2\*</sup>

(1. 东北农业大学资源与环境学院,哈尔滨 150030; 2. 农业农村部环境保护科研监测所,农业农村部产地环境污染防控重点实验室,天津市农业环境与农产品安全重点实验室,天津 300191; 3. 新疆农业大学草业与环境科学学院,乌鲁木齐 830052)

摘要: 为探究不同钝化剂对畜禽粪便处理效果,以鸡粪和稻草秸秆为原料,采用高温酵素快速堆肥方法,研究添加海泡石(SE)、钙镁磷肥(NP)、生物炭(BI)单一及复配钝化剂海泡石+钙镁磷肥(S+N)、海泡石+生物炭(S+B)、钙镁磷肥+生物炭(N+B)、海泡石+钙镁磷肥+生物炭(SNB)对鸡粪有机肥的理化性质、重金属形态分布及有机质变化的影响. 结果表明,添加不同钝化剂堆肥后显著增加鸡粪有机肥 pH(P<0.05),种子发芽率有所增加(80%以上),发芽抑制率相应降低,而电导率(EC)、有机碳全氮含量和碳氮比(C/N)均较堆肥前有所降低,各项指标均达到有机肥腐熟标准. 但堆肥后各组间差异为:在pH方面复配处理pH增加较高,在电导率方面单一海泡石和钙镁磷肥处理下 EC 值降幅较大,而有机碳全氮含量和碳氮比各组差异不明显. 虽然由于"浓缩效应"导致鸡粪有机肥重金属总量有所增加,但鸡粪有机肥中重金属可溶态比例下降,残渣态比例均有所增加,添加钝化材料后发现复配钝化剂对重金属钝化效果好于单一钝化剂,其中 SNB 处理对 Ni、Zn、As 和 Pb 钝化效果最好. 堆肥处理后,腐殖酸(HS)和胡敏酸(HA)浓度均显著上升(P<0.05),最高分别增加 19.8% 和 78.9%,富里酸(FA)则较初始条件下降低 4.47%~20.11%. 红外光谱分析发现堆肥后多糖小分子类物质均不同程度增加. 综上所述,投加钝化剂对鸡粪有机肥重金属钝化有一定的促进作用,从而使堆肥达到无害化效果.

关键词:堆肥;钝化剂;重金属;鸡粪;腐殖质

中图分类号: X171.5 文献标识码: A 文章编号: 0250-3301(2020)01-0469-10 **DOI**: 10.13227/j. hjkx. 201906121

# Effect of Different Passivating Agents on the Stabilization of Heavy Metals in Chicken Manure Compost and Its Maturity Evaluating Indexes

 $LUAN\ Run-yu^{1,2}\ ,\ GAO\ Shan^{1,2}\ ,\ XU\ Ying-ming^2\ ,\ JI\ Yi-ning^{1,2}\ ,\ YAN\ Cui-xia^{2,3}\ ,\ SUN\ Yue-bing^{2*}$ 

(1. College of Resources and Environment, Northeast Agricultural University, Harbin 150030, China; 2. Tianjin Key Laboratory of Agro-Environment and Agro-Product Safety, Key Laboratory of Original Agro-Environmental Pollution Prevention and Control, Agro-Environmental Protection Institute, Ministry of Agriculture and Rural Affairs, Tianjin 300191, China; 3. College of Grassland and Environment Sciences, Xinjiang Agricultural University, Urumqi 830052, China)

Abstract: We explore the effects of different passivating agents on livestock manure treatment by using chicken manure and straw as raw materials and thermophilic rapid fermentation. We investigate the effects of sepiolite (SE), calcium magnesium phosphate fertilizer (NP), biochar (BI), compounds of sepiolite plus calcium magnesium phosphate fertilizer (S+N), sepiolite plus biochar (S+B), calcium magnesium phosphate fertilizer plus biochar (N + B), and sepiolite plus calcium magnesium phosphate fertilizer and biochar (SNB) on the physical and chemical characteristics, heavy metal fraction and distribution, and organic matter content in chicken manure compost. The results showed that the addition of different passivating agents significantly increased the pH in chicken manure organic fertilizer (P < 0.05). The seed germination rate was increased after applying of passivation agents, being > 80%, and the germination inhibition rate decreased accordingly, whereas the values of electric conductivity (EC) and organic carbon were inhibited. The total nitrogen content and carbon/nitrogen ratio (C/N) were lower than of those before composting, and all of the indicators reached the standard of organic fertilizer maturity. However, differences among the groups after composting were that the pH increase in the compounding treatment was comparatively higher, and that the EC decreased significantly under the treatment of the single sepiolite and calcium magnesium phosphate, whereas the total nitrogen content and C/N ratio of organic carbon were not significantly different in each group. Although the total amount of heavy metals in our organic chicken manure fertilizer increased due to a concentration effect, the proportion of exchangeable heavy metals in the fertilizer decreased, and while the ratio of the residual heavy metals increased. The passivation effect on heavy metals under combined treatments of different materials was better than that of a single agent, and the SNB treatment had the best effect on the passivation of Ni, Zn, As, and Pb. After composting treatment, the concentrations of humic substances (HS) and humic acid (HA) increased significantly (P<0.05), and the highest concentrations increased by 19.8% and 78.9%, respectively. The amount of fulvic acid (FA) decreased by 4.47%-20.11% compared with the initial conditions. Infrared

收稿日期: 2019-06-17; 修订日期: 2019-08-17

基金项目: 国家重点研发计划项目(2017YFD0801402, 2018YFD0800300);天津市自然科学基金重点项目(17JCZDJC34200)

作者简介: 栾润字(1994~),男,硕士,主要研究方向为畜禽粪便有机肥重金属污染治理,E-mail:425095692@ qq. com

<sup>\*</sup> 通信作者, E-mail: sunyuebing@ aepi. org. cn

spectroscopy analysis showed that the small molecular substances of polysaccharides increased after composting. In summary, the addition of a passivation agent can promote the heavy metal passivation in chicken manure organic fertilizers to potentially render the compost as harmless.

Key words: composting; passivating agent; heavy metals; chicken manure; humus

据统计, 2010 年我国畜禽粪便年排放量达到 22. 263 亿 t<sup>[1]</sup>, 2020 年的畜禽粪尿产生量将达到 28.11 亿 t 猪粪当量[2]. 然而,为促进畜禽生长,饲 料中往往添加一定剂量的重金属,导致畜禽粪便和 堆肥产物中的 Zn 和 Cu 等重金属含量严重超标<sup>[3]</sup>. 如王飞等[4]对华北地区饲料和畜禽粪便调查发现, 部分饲料中重金属含量超标,按照农业部及卫生部 标准,猪饲料中 Cu 和 Zn 超标率为 66.67% 和 80.00%, 肉鸡饲料中 Zn 超标 62.50%, 肉牛中 Cr 和 Pb 超标 83.33% 和 66.67%, 奶牛饲料中 Cr 超标 60.00%, 蛋鸡饲料中 Pb 超标 53.85%, 且畜禽粪便 中重金属含量与饲料中重金属含量呈极显著正相关 (P<0.01),候月卿等[5]对比了我国不同地区畜禽 粪便的重金属含量,发现粪便中重金属主要为 Cu、 Zn 超标,且猪粪和鸡粪中重金属含量明显高于其他 畜禽. Zhang 等[6] 调查东北三省部分养殖场鸡粪发 现: Cu、Zn、As、Pb 和 Cd 最高含量分别达到 487.4、1 063.3、10.4、22.1 和 38.0 mg·kg<sup>-1</sup>,超标 污染畜禽粪便长期施用至土壤中引起环境风险,宋 伟等[7]对我国138个地区的耕地土壤重金属污染进 行了调查,发现我国耕地的土壤重金属污染率为 16.7% 左右, 其中 Cd 污染最严重, 达到 25.20%. 重 金属含量超标,进而抑制作物生长,使其品质下 降[8],进入食物链危害人体健康.

堆肥是实现畜禽粪便重金属无害化的重要手 段[9],其主要原理是畜禽粪便和辅料中纤维素、半 纤维素、木质素等有机物降解及腐殖质与重金属发 生络合反应,有助于有重金属向稳定化形态转化,进 而降低重金属生物有效性和活性. 然而堆肥化过程 仍存在重金属钝化效率低下、稳定性较差等问题. 通过添加重金属钝化材料,与粪便中重金属离子发 生吸附、沉淀、络合和离子交换等反应,可极大提 高重金属钝化效率,降低其生态环境风险. 候月卿等 在猪粪堆肥过程中添加生物炭和腐殖质,发现花生 壳炭、腐殖质和木屑炭对 Cu、Zn 和 Cd 钝化效果最 佳,分别达到 65.8%、64.9% 和 94.7% [10]. FeCl。改 性生物炭对猪粪 Cu、Zn 和 Pb 钝化率分别达到 78.7%、43.5%和66.5%[11].何增明等[12]的研究发 现, 5.0%海泡石+2.5%膨润土复配处理对猪粪中 As 和 Zn 表现出较好的钝化效果,残渣态 As、Zn 增 幅分别达到 79.8% 和 158.6% [12]. 然而,针对不同 钝化剂对鸡粪堆肥中重金属有效性影响的研究较 少. 本文通过高温酵素快速堆肥, 研究投加单一和复配钝化材料对鸡粪有机肥理化特性、重金属含量与形态分布以及有机质含量的影响, 以期为畜禽粪便堆肥过程中重金属的钝化技术研发提供理论依据.

#### 1 材料与方法

#### 1.1 供试材料

本实验于2018年12月在天津武清某养殖基地进行,鸡粪由该养殖场提供.稻草秸秆选自联丰农产品深加工稻草秸秆,粉碎至秸秆粉备用.酵素购自鑫宏润(天津)农业生物技术服务有限公司.

#### 1.2 实验设计

将稻草秸秆与鸡粪以碳氮比为25:1进行混合, 含水率控制在60%左右在快速升温发酵一体发酵 箱(50 cm×30 cm×30 cm)中充分预热 30 min 后, 添加单一海泡石、钙镁磷肥、生物炭及其复配材 料,部分研究显示[12],相比于其他浓度,添加 2.5% ~4%的不同种钝化剂对堆肥钝化效果普遍较好. 因 此,本实验添加3%含量的钝化剂,通过调整其配比 探究不同钝化剂对堆肥效果的影响. 分别为 CK 组 (无添加)、SE 组(3% 海泡石)、NP 组(3% 钙镁磷 肥)、BI组(3%生物炭)、S+N组(1.5%海泡石+ 1.5% 钙镁磷肥)、S+B组(1.5% 海泡石+1.5% 生 物炭)、N+B组(1.5% 钙镁磷肥+1.5% 生物炭) 和 SNB 组 (1% 海泡石 + 1% 钙镁磷肥 + 1% 生物 炭). 然后加入3%酵素发酵,每组处理物料总重量 均为7.5 kg,以60 r·min<sup>-1</sup>翻转混匀,在85℃下发酵 处理3 h. 结束后,取一部分鲜样进行保存,用于检测 pH、EC、种子发芽率和根长抑制率. 另一部分样品 风干处理,用于检测总 C、总 N、重金属总量与各形 态分布以及腐殖质类物质含量,每个处理3次重复.

#### 1.3 分析方法

- (1)有机肥理化特征分析 pH 测定通过蒸馏水浸提,固液质量比为 1:10,采用赛多利斯 PB-10型 pH 计测定,EC 值用梅特勒-托利多仪器 FiveEasy Plus 型电导率仪测定;有机碳采用重铬酸钾容量法-稀释热法测定;全氮采用凯式定氮仪(型号: KDY-9820)进行检测.
- (2)种子发芽率 选用小白菜种子,取固液质量比为1:20的溶液5 mL于底有滤纸的培养皿中,取10粒小白菜种子在(20±1)℃恒温培养箱中培养96 h测定发芽率,并设置5 mL纯净水作为对照,

GI 由以下公式计算[10]:

# $GI(\%) = \frac{$ 浸提液种子发芽率 $\times$ 平均根长 对照组种子发芽率 $\times$ 平均根长

(3) 重金属全量及各形态的测定 全量采用 HNO<sub>3</sub>-HClO<sub>4</sub>(体积比 4:1) 消解,取 0.2 g 样品放于消煮管中,加入 10 mL 的混合溶液静置过夜,次日用控温消煮炉进行加热消解. 重金属形态分析采取欧洲共同体参考物机构(European Communities Bureau of Reference, BCR 法)改进的三步提取法测定<sup>[13]</sup>,分为可交换态、还原态、氧化态和残渣态这 4 个形态. 重金属各形态分配律及有效态钝化率分别由下式计算<sup>[14]</sup>:

- (4)可提取腐殖物质、胡敏酸、富里酸的提取测定 参照 Kumada 方法,改进了提取温度和分组方法<sup>[15]</sup>,用重铬酸钾容量法测定可提取腐殖质,富里酸酸组分的碳量,胡敏酸含量=可提取腐殖物质-富里酸.
- (5) 堆肥有机碳红外光谱 采用傅里叶红外光谱仪进行定性分析,红外光谱图分析委托安泰科技股份有限公司分析测试中心,在 Nicolet iS10 傅立叶变换 红外光谱仪上进行,测试波数 400~4 000 cm<sup>-1</sup>,以高纯 KBr 压片为标准试剂扣除背景. **1.4** 数据分析

数据采用 Origin 8.0 作图软件进行分析,采用 DPS 软件进行相关性分析,半定量分析红外光谱官能团采用 OMNIC 进行计算.

#### 2 结果与讨论

#### 2.1 不同钝化剂对鸡粪堆肥腐熟程度的影响

在堆肥过程中常用物理和化学等方法较为快速直观地检测堆肥腐熟程度及堆肥品质<sup>[16]</sup>,其中 pH 值是评价堆肥腐熟度的一个重要指标. 如图 1(a)所示,与传统堆肥类似,各组处理下堆肥 pH 较堆肥前均显著增加(P<0.05),增加了 0.11~0.57 个单位. 有研究普遍发现<sup>[17,18]</sup>,堆肥腐熟后 pH 增加,呈中性或弱碱性,这是由于在微生物驱动下,蛋白质在脱氨基作用产生了大量的 NH, 释放到堆体中,从而使 pH 值缓慢上升<sup>[19]</sup>. 姜新有等<sup>[20]</sup>的研究发现,添加外源物质后随着堆肥初始 pH 值增加,堆体温度也随之上升,有机物降解率加快. 因此,pH一定程度上反映了堆肥腐熟程度. 与未添加钝化材料(CK)组处理相比,其他处理中堆肥 pH 值明

显提高(P<0.05, SE 组除外),且在 SNB 处理下 pH 最高,这可能是由于添加钝化剂提高了 pH 以 及不同 pH 条件下堆肥使其效果有所不同导致的, 但添加单一和复合钝化材料后鸡粪堆肥 pH 介于 6.6~7.1,均达到堆肥腐熟标准. 电导率反映出了 溶液的离子性,在堆肥过程中,有机肥 EC 值呈降 低趋势,由离子态向稳定态转化[10].与堆肥前鸡粪 相比, 堆肥后有机肥 EC 值显著降低 (P < 0.05) [图1(b)],这是由于在堆肥过程中NH,、CO2等 挥发<sup>[21]</sup>造成的. 与不添加钝化剂相比, SE、NP、 BI、S+N和S+B处理下EC值均有所抑制,其中 单一海泡石和钙镁磷肥处理下 EC 值显著降低(P <0.05), 而 N + B 和 SNB 处理下 EC 值略微增加. 候月卿等[10] 在猪粪中添加生物炭和腐植酸类,EC 值从堆肥前的4 mS·cm<sup>-1</sup>下降至堆肥后的1.72~ 3.24 mS·cm<sup>-1</sup>,满足堆肥腐熟标准.

堆肥过程中有机碳的变化反映了有机物分解的 情况,氮素的变化则与氨的挥发以及硝态氮的反硝 化作用有关[22]. 在高温堆肥后,有机碳含量均显著 下降(P<0.05),与初始鸡粪相比,有机碳含量降低 了 6.3%~17.2% [图 1(c)]. 与添加单一钝化材料 相比,复配处理有机碳含量均有不同程度地降低,且 在 SNB 处理下达到最低,显著低于单一和两种材料 复配处理(P<0.05). 与之相反,堆肥各组全氮含量 较堆肥前有所提高,增加了 2.2%~15.6%,且 BI 组 达到最高,为 19.93 g·kg<sup>-1</sup>. 与 CK 相比,投加单一 和复配钝化剂后全氮含量整体上有所提高,取到一 定保氮作用. 郑瑞生等研究发现, 在猪粪堆肥中投加 沸石后显著减少 NH, 挥发, 氮损失率最低可减少 47.3% [23]. 鲍艳字等 [24] 的研究发现堆肥后 TN 相对 含量并不一定呈现降低的变化趋势. C/N 比值可用 来评价有机肥的腐熟程度,一般认为堆肥结束时 C/ N比值达到15~20时即可视为腐熟[25].不同处理 下堆肥 C/N 比值为 14.1~15.3,满足腐熟度标准 「图 1(d)].

种子发芽指数(GI)用来反映堆肥对植物毒性的大小<sup>[26]</sup>.一般条件下堆肥腐熟度越高,种子发芽指数越高,发芽抑制率反而越低. Zucconi 等<sup>[27]</sup>认为当 GI 达到 80%以上,堆肥对植物没有毒害. 由图 2可以看出,初始条件下 GI 仅为 33.0%,未添加钝化剂发酵后达到 83.4%. 投加单一和复配材料后 GI整体上均有所促进,介于 86.1%~108.4%之间(SE组除外),且复配处理整体上高于单一处理,说明添加钝化剂后降低了重金属的活性,其对植物的毒性有所减弱. 与纯净水条件下培养相比,未发酵鸡粪小白菜芽长抑制率达到 67.0%,发酵处理抑制率有所

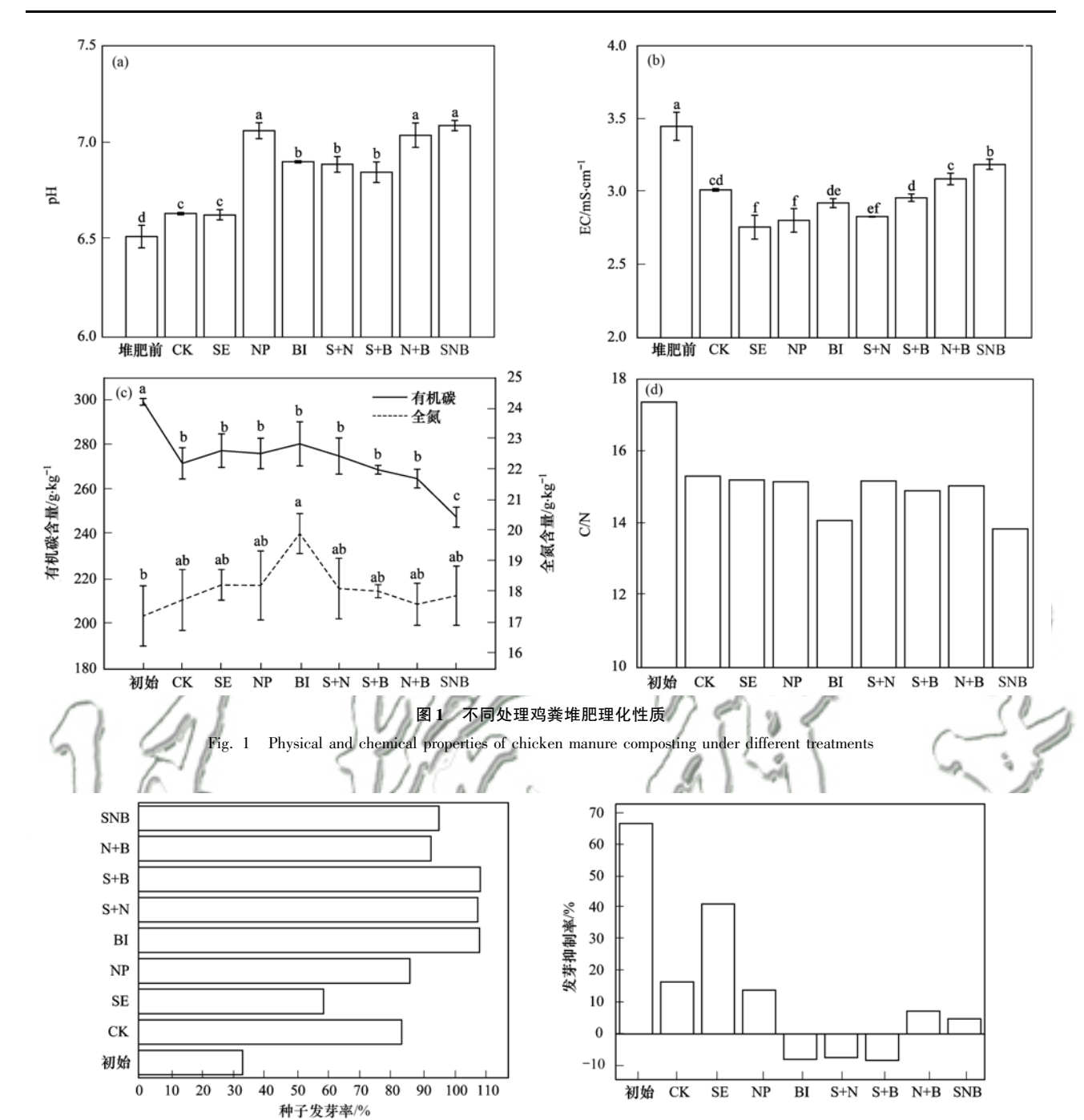


图 2 不同处理鸡粪堆肥理化性质 Fig. 2 Physical and chemical properties of chicken manure composting under different treatments

降低,其中 BI、S+N 和 S+B 处理下可促进小白菜 生长. 郜斌斌等<sup>[28]</sup>的研究发现,投加蛭石、沸石和 麦饭石后,GI 增加 7.8%~17.3%.

2.2 不同处理下堆肥重金属含量与形态分布特征

由表 1 可以看出,与初始鸡粪相比,堆肥后(CK、单一和复配钝化材料)重金属 Mn、Cr、Ni、Cu、Zn、As、Cd 和 Pb 含量均有所增加,分别增加了9.8%~19.6%、11.7%~17.5、11.7%~23.3%、3.9%~39.1%、11.8%~19.2%、8.8%~19.1%、2.3%~16.0%和8.5%~16.6%.这是由于有机肥在堆制过程中,随之有机物降解、水分散失、挥发

性物质损失等,使得堆体变小,干物质降低,重金属含量都普遍增加,呈现出一定程度的"相对浓缩效应"<sup>[29]</sup>.王玉军等<sup>[30]</sup>利用玉米秸秆和鸡粪作原料,添加菌剂发酵后 Pb、Cd、As 和 Cu 分别增加了44.4%、37.3%、38.9%和40.0%,荣湘民等<sup>[31]</sup>对猪粪堆肥结果显示,各处理堆肥后重金属 As,Cu 和 Zn的含量都普遍升高,分别为堆肥前 101.67%~211.75%.因为堆肥整体浓缩倍数相同,因此所有重金属全量含量提升普遍在 10%~20%之间,但与对照相比,添加单一和复配材料处理下重金属含量变化不大.

表 1 不同钝化处理下有机肥重金属含量/mg·kg<sup>-1</sup>

m 11 1			1 * 1	1	1.cc .	,	1 -1	
rabie i	Heavy metal	content in	cnicken mai	nure unaer (	amerent	treatments/	mg•kg	

项目	Mn	Cr	Ni	Cu	Zn	As	Cd	Pb
初始	280. 92 ± 1. 86	41. 23 ± 2. 15	$6.26 \pm 0.35$	29. 93 ± 3. 80	340. 96 ± 4. 66	$0.68 \pm 0.07$	4. 82 ± 0. 27	2. 47 ± 0. 44
CK	$333.69 \pm 18.38$	$48.25 \pm 0.58$	7. $10 \pm 0.14$	$33.95 \pm 2.92$	$400.53 \pm 11.45$	$0.81 \pm 0.06$	5. $18 \pm 0.10$	$2.69 \pm 0.31$
SE	$321.45 \pm 18.48$	$46.06 \pm 3.11$	$6.99 \pm 0.88$	32. $74 \pm 5.71$	$398.09 \pm 18.12$	$0.74 \pm 0.04$	$5.24 \pm 0.19$	$2.68 \pm 0.01$
NP	$308.53 \pm 15.32$	$48.06 \pm 0.20$	$7.53 \pm 0.05$	$33.96 \pm 2.81$	$402.76 \pm 2.90$	$0.78 \pm 0.04$	$5.59 \pm 0.19$	$2.85 \pm 0.30$
BI	316. 13 $\pm$ 7. 75	$46.72 \pm 2.32$	$7.35 \pm 0.14$	31. 11 $\pm$ 2. 15	$381.86 \pm 29.23$	$0.81 \pm 0.04$	$5.21 \pm 0.14$	$2.76 \pm 0.16$
S + N	$335.86 \pm 5.99$	$48.04 \pm 1.44$	7. $24 \pm 0.70$	$41.64 \pm 5.60$	$383.48 \pm 9.93$	$0.75 \pm 0.10$	$5.49 \pm 0.08$	$2.73 \pm 0.37$
S + B	$318.60 \pm 6.65$	$48.44 \pm 4.10$	$7.06 \pm 0.37$	32. $85 \pm 3.66$	$398.59 \pm 36.71$	$0.80 \pm 0.11$	$5.26 \pm 0.38$	$2.83 \pm 0.45$
N + B	$315.83 \pm 17.14$	46. 13 $\pm$ 2. 63	$7.72 \pm 0.40$	$33.90 \pm 1.09$	$406.51 \pm 29.43$	$0.78 \pm 0.06$	$4.93 \pm 0.36$	$2.88 \pm 0.36$
SNB	334. 11 ± 3. 15	$46.52 \pm 3.57$	$7.50 \pm 1.60$	$34.\ 18 \pm 3.\ 46$	381. 30 ± 39. 95	$0.77 \pm 0.14$	$5.22 \pm 0.20$	$2.87 \pm 0.32$

仅仅根据重金属绝对量来判断堆肥的环境效应 是不全面的,重金属的生物有效性与其化学形态密 切相关,重金属的化学形态比其绝对量更值得关注, 分配率是评价重金属环境风险的一项重要指标[32]. 图 3 可以看出,不同处理下鸡粪有机肥中 Cr 残渣态 比例最高(74.34%~80.48%),依次为还原态 (16.50%~21.88%)、氧化态(1.53%~3.20%)和 可交换态(0.85%~1.32%). 与堆肥前 Cr 可交换态 比例(1.31%)相比,添加钝化剂后鸡粪有机肥 Cr 可交换态比例均有所降低,其中为 S+N 组处理最 低,仅为0.82%,而堆肥结束后残渣态也均有不同幅 度增加,且不同钝化剂复配高于单一钝化剂处理.在 初始条件下,鸡粪有机肥 Cu 形态比例大小表现为 还原态 > 残渣态 > 氧化态 > 可交换态,添加钝化剂 后堆肥 Cu 残渣态占比均大幅提高,其中 N+B 处理 下 Cu 残渣态占比高达 52.63%, 可交换态、还原态 比例相应不同程度下降. 不同材料对 Cu 的钝化效 果表现为复配处理 > 单一处理 > 不添加钝化剂. Zn 的四部形态分配律分别为氧化态(49.68%~ 58.37%) > 还原态(28.47%~43.70%) > 可交换态 (16.91% ~ 29.27%) > 残渣态(18.21% ~ 27.00%),可以发现堆肥结束后可交换态占比均不 同幅度地降低,添加复配钝化剂可交换态钝化效果 好于单一钝化剂组,最低组 SNB 可交换态占比由 29.27%降低至16.91%,其他形态占比不同幅度增 加,从残渣态看,N+B增幅最高,占比由18.21%增 加至 27.00%. 在堆肥结束后, As 各形态占比依次为 可交换态(29.20%~27.24%)>还原态(23.48%~ 30.77%) > 残渣态(21.66%~30.93%) > 氧化态 (9.67%~16.88%),由图3可以发现堆肥后可交换 态占比不同程度地下降,且全部低于 CK 组,其中最 高组 SNB 在堆肥后可交换态占比从堆肥前的 37.24%降低到 16.91%. Cd 各形态占比为残渣态 (81.24%~83.71%) > 还原态(6.58%~8.37%) > 可交换态(5.35%~6.45%)>氧化态(3.49%~

5.06),在堆肥结束后,有效态占比全部下降,但变 化较小,除 BI 组外,堆肥后各组可交换态占比均低 于 CK 组(5.71%),可交换态分配律最低组 S + N (5.26%),氧化态均提高,且复合处理组氧化态占 比高于单一处理组,最高组 SNB 氧化态占比由堆肥 前的 6.58% 增加到 8.37%. Pb 不同形态分配率整 体上表现为还原态(36.76%~46.33%)>残渣态 (34.59%~45.06%)>氧化态(14.53%~18.57%) > 可交换态(0.36%~0.72%),如图3可发现在堆 肥结束后,主要体现为各组残渣态占比一定幅度提 高,各钝化剂处理组普遍高于 CK 组,但不同钝化剂 处理组间差异不明显,最高组 BI 占比增至 45.06%. 可交换态变化较小. Ni 的四部形态分配律 分别为可交换态(22.04%~36.25%)>残渣态 (22.07%~37.31%) > 还原态(21.13%~29.36%) >氧化态(14.97%~20.94%),在堆肥后可交换态 占比均下降,除 NB 组外,各组堆肥后可交换态分配 律均低于 CK 组(29.47%),最低组 SNB 由堆肥前 36. 24%降至22. 04%,此外,还原态残渣态均有一定 幅度的提升,其中添加钝化剂处理的还原态残渣态 占比均高于 CK,其中含有 SE 和 NP 组残渣态占比 较高最高组 S+N 残渣态占比增加至 37.31%. Mn 的四部形态分配律分别为可交换态(49.28%~ 61.97%) > 残渣态(17.65%~24.51%) > 氧化态 (17.00%~24.89%) > 还原态(2.71%~4.69%) 在 堆肥后可交换态占比均下降,除 BI、N + B 和 SNB 组外,各组堆肥后可交换态分配律均低于 CK 组 (54.84%),且各组间并无明显差异.

重金属各形态反映了其有效性,其中可交换态生物有效性最强,只要增大介质中的离子强度,重金属就会释放出来<sup>[30]</sup>,同时较容易被植物吸收,因此有效态含量的减少对堆肥重金属钝化效果的影响较为重要,而钝化率则更直观地反映不同钝化材料对重金属有效态钝化强弱.投加不同钝化材料堆肥后,不同重金属钝化率整体上均有所增加(表2).与对

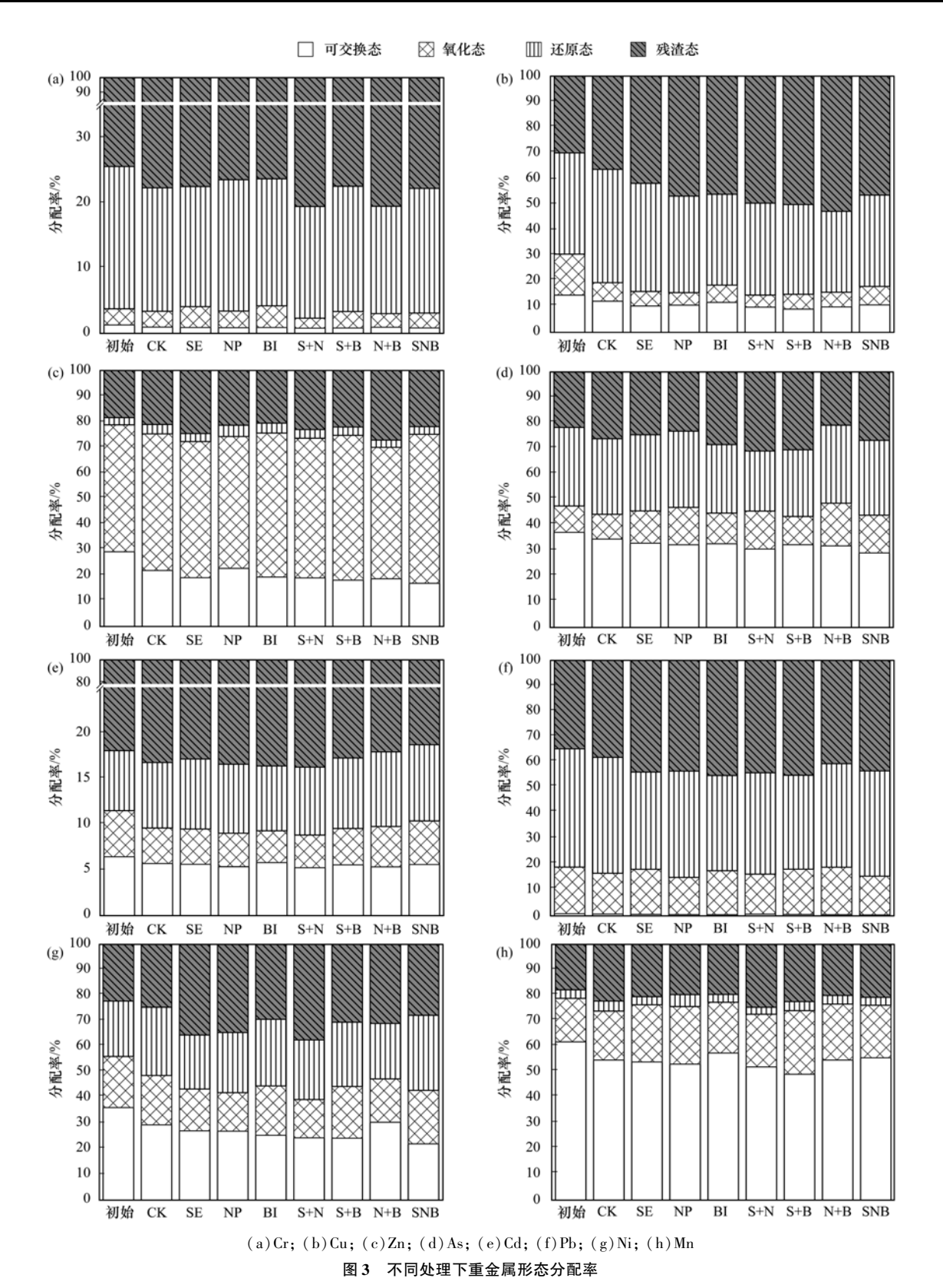


Fig. 3 Ratio of heavy metal fraction under different treatments

照相比,Cr、Mn、Ni、Cu、Zn、As、Cd 和 Pb 钝化率最大分别增加了 12.29%、8.97%、20.49%、21.11%、17.17%、14.63%、6.99%和42.74%.其中,S+N处理对Cr和Cd钝化效果最好,S+B处理对Mn和Cu钝化效果最好,SNB处理对Ni、Zn、As

和 Pb 钝化效果最好. 有研究表明 pH 变化和吸附作 用对重金属形态变化有较大的影响<sup>[33]</sup>,一方面堆肥 后 pH 值均呈增加趋势,另一方面添加钝化材料通 过离子交换、表面吸附、共沉淀等与重金属发生作 用,从而降低了有机肥中重金属活性. 海泡石和生物 炭具有较大的空腔表面,对重金属离子具有较强的 吸附能力<sup>[34]</sup>,何增明等<sup>[12]</sup>在好氧高温堆肥中添加 5%的海泡石对 As 和 Zn 起到较好地钝化效果,候月 卿等<sup>[10]</sup>在堆肥中添加木屑炭,对 Cd 的钝化效果较

达到94.67%.含 P 物质如钙镁磷肥可降低土壤 Cu和 Zn 的生物有效性<sup>[35]</sup>.李国学等<sup>[36]</sup>在研究污泥堆肥处理中重金属钝化剂时指出,磷矿粉和粉煤灰效果较好.

表 2 不同处理下重金属钝化率/%

		Table 2	Stabilization ratio	of neavy metals	under different t	reatments/ /c		
项目	Cr	Mn	Ni	Cu	Zn	As	Cd	Pb
CK	25. 43	11.51	18. 69	16. 35	25. 05	6. 96	11.50	15. 67
SE	29.40	12.71	25. 11	29. 07	34. 72	11. 35	12. 80	27. 64
NP	32. 18	14.08	25. 55	26. 65	22. 21	13.00	16.77	40. 83
BI	29.63	7.08	30. 01	19. 49	33. 78	11. 94	9. 91	43.71
S + N	37.72	15.86	32. 70	32. 35	34. 91	17. 45	18. 49	16. 72
S + B	35. 68	20.48	33. 07	37. 46	37. 94	12. 93	13.75	33. 44
N + B	26. 82	11.49	15. 84	31. 51	36.00	14. 15	17. 17	44. 49
SNB	35.06	10.09	39. 18	26. 19	42. 22	21. 59	13. 17	58. 41

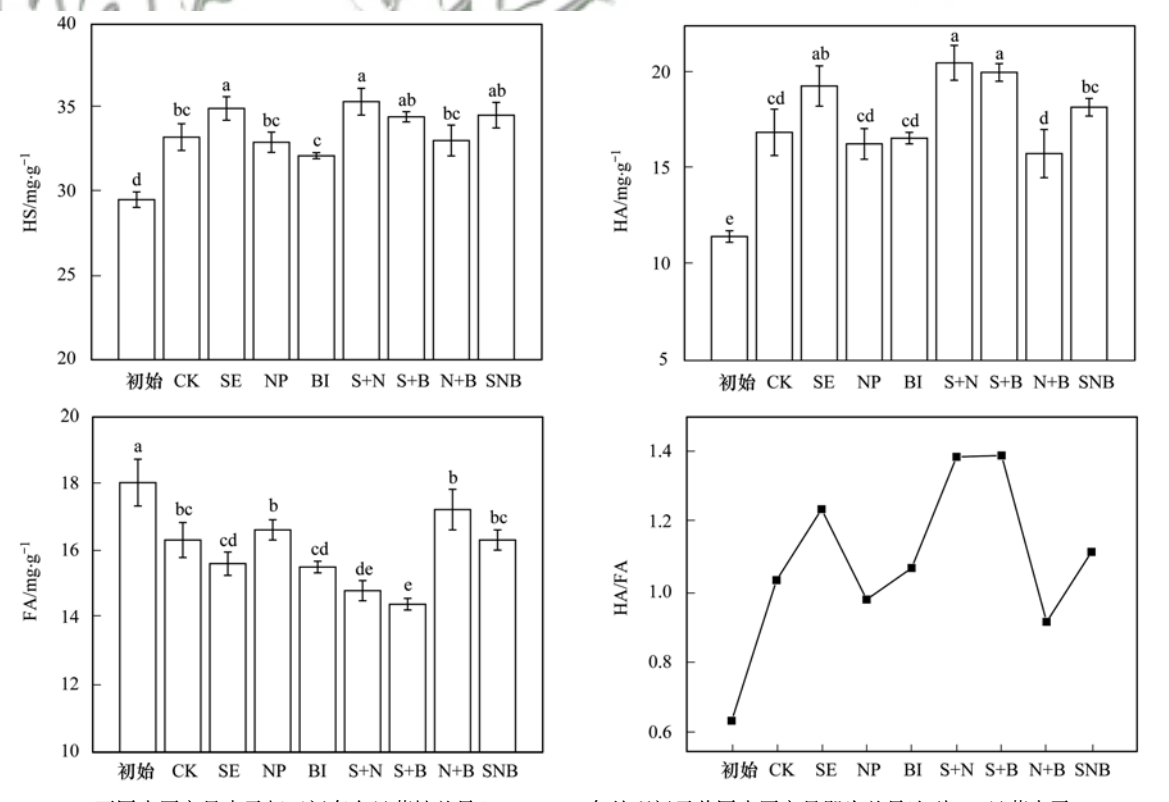
Table 2 Stabilization ratio of heavy metals under different treatments/%

#### 2.3 不同钝化材料对堆肥腐殖物质的影响

图 4 为腐殖质(HS)、胡敏酸(HA)、富里酸(FA)及 HA/FA 变化趋势,可以发现堆肥后 HS 含量增加,堆肥后分别增加了 8.8%~19.8%,堆肥结束后,各组均与堆肥前差异显著(P<0.05),但堆肥后各组间差异不显著,仅有 SE 组、S+N 组堆肥结束后腐殖质增加量与 CK 差异性显著(P<0.05),与 CK 差异显著. HA 含量不同程度地升高,堆肥后分别增加 37.7%~78.9%,均与堆肥前差异显著(P<0.05),但不同处理间仅有 SE 组、S+N组、S+B组与 CK 差异显著(P<0.05). 堆肥后 FA 有所降

低,相较于堆肥前降低  $4.47\% \sim 20.11\%$ ,均与堆肥前差异显著 (P < 0.05),但不同处理间仅有  $S + N \setminus S + B$  与 CK 差异显著 (P < 0.05). HA/FA 升高,从堆肥前 0.63 分别增加至  $0.92 \sim 1.39$ .

在堆肥过程中可提取腐殖物质是有机物料在微生物、酶的作用下形成的一类特殊的高分子化合物<sup>[37]</sup>,卜贵军等<sup>[38]</sup>采用三维荧光光谱研究发现,在鸡粪堆肥后期类腐殖质荧光区 III 和 V 明显上升,预示腐殖质含量增加. 本实验可发现堆肥后各组腐殖质含量均增加,与堆肥前差异性显著(P < 0.05),这是因为堆肥过程中,有机物料不断分解,可提取腐殖



不同小写字母表示相互间存在显著性差异(P<0.05),各处理间无共同小写字母即为差异达到5%显著水平

图 4 不同处理下腐殖酸、FA、HA 以及 HF/HA 变化情况

Fig. 4 Change of humic acid, FA, HA, and HF/HA under different treatments

物质含量增加所致,但组间差异不显著,说明钝化剂 对腐殖质变化没有明显影响.

而胡敏酸(HA)和富里酸(FA)是腐殖质的重要 组成部分,在堆肥发酵过程中,木质素氧化形成胡敏 酸,进一步氧化生成富里酸,HA/FA 通常用来评估堆 肥腐熟度的重要指标,数值越大,表示腐熟堆肥腐殖 化程度越高<sup>[39]</sup>. 本实验堆肥结束后,大分子 HA 增 加,均与堆肥前差异性显著(P<0.05),着意味着腐 殖质从水溶态向固态的转化,但组间差异性不显著. 小分子 FA 减少,这表明了堆肥存在促进富里酸分解 的过程,马开星等研究发现,鸡粪堆肥富里酸含量降 低,最大可减少47.1%[40],于其研究较为一致.而 HA/FA 通常用来评估堆肥腐熟度的重要指标,数值 越大,表示腐熟堆肥腐殖化程度越高[41]. 本实验中由 于 HA/FA 比值的增大,对降低堆肥原料中重金属的 迁移性和有效性有重要意义,可发现复配组(S+N、 S+B和 SNB) HA/FA 较高,这可能与堆肥前添加钝化 剂影响其 pH 环境导致堆肥效果不同有关.

不同来源的腐殖质有类似的结构组成和官能团,根据前人的研究结果,具体红外光谱各吸收波段归属如下<sup>[42~44]</sup>:3 200~3 500 cm<sup>-1</sup>,羟基的氢键伸缩振动,一部分是有机物中碳水化合物的羟基吸收,另一部分是样品中所含水分的羟基吸收和氨基酸中的 N—H 伸缩振动吸收; 2 915~2 935 cm<sup>-1</sup>,脂肪族 C—H 伸缩振动,—CH<sub>2</sub>—不对称; 1 620~1 650 cm<sup>-1</sup>,取代的芳环的环振动,酰胺中C—O、N—H 键及吸湿水的振动;1 421~1 431 cm<sup>-1</sup>,羧酸分子中的—OH 面内弯曲振动、羧酸盐的 C—O 伸缩振动和脂肪族—CH<sub>2</sub> 的摇摆振动;1 030~1 080 cm<sup>-1</sup>,多糖或多糖类似物的 C—O 键以及硅酸盐杂质的 Si—

#### 0 键伸缩振动.

特征峰吸收强度的大小和吸收峰的相对强度可 以反映官能团含量的相对多少[45]. 由图 5 和表 3 可 发现堆肥前后主要吸收带一致,某些波峰的峰形和 峰吸收强度与堆肥前有一定差异,体现出堆肥前后 官能团的性质变化,在3 200~3 500 cm<sup>-1</sup>处吸收强 度较高,堆肥处理后增加,与于子旋等[33]的研究一 致,这说明各组堆肥后多糖类的小分子物质均增加, 其中堆肥后 SNB 组在3 428 cm<sup>-1</sup>相对于其余组较 高,说明其堆肥进程较快.此外 SNB 组相对于其他 组变化较大,说明其各物质反应均较剧烈.1430 cm<sup>-1</sup>对1030 cm<sup>-1</sup>处吸收峰的比值有所降低,这与 Fatima 等[35]的研究一致,可能与堆肥的降温腐熟期 活动加剧有关. 相对于鸡粪传统堆肥1 650 cm -1 吸 收强度略微下降,这说明了芳香程度降低,这与孙向 平[46]的研究结果类似. 因此从吸收峰来看与传统堆 肥基本一致,说明高温酵素堆肥可行性较高,但各钝 化剂组间差异并不明显.

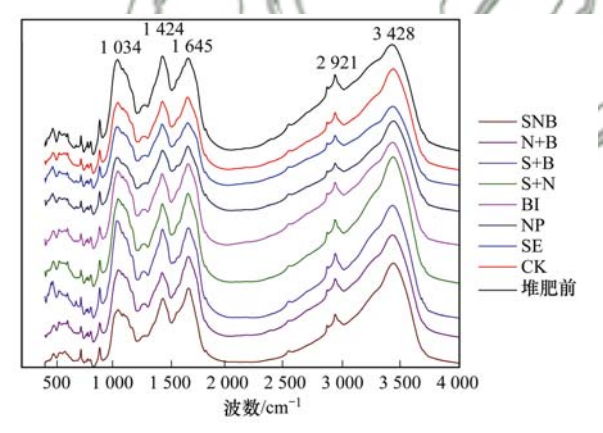


图 5 不同处理下红外光谱特征

Fig. 5 Infrared spectral characteristics under different treatments

表 3 不同处理下各官能团半定量分析/%

Table 3 Semi-quantitative analysis of functional groups under different treatments/%

项目	羟基 H 键	脂肪族 C—H	芳香环	羧酸分子中—OH	多糖或多糖 类似物的 C—O 键
堆肥前	49. 59	1. 25	15. 18	10. 09	23. 89
CK	61. 45	1. 10	12.73	7. 02	17. 71
SE	56. 84	1. 11	14. 58	8. 17	19. 29
NP	62. 75	0. 97	12.34	7. 58	16. 36
BI	58. 97	1. 15	14. 96	6. 74	18. 17
S + N	61.86	0. 96	12. 91	6. 20	18. 07
S + B	55. 93	1. 17	12. 36	8. 03	22. 51
N + B	59. 01	1. 18	15. 86	6. 31	17. 64
SNB	64. 17	1. 07	13. 76	6. 42	14. 58

#### 3 结论

(1)堆肥后在各理化性质方面,均与堆肥前差异性显著(*P* < 0.05),不同处理下 pH、EC、C/N、种子发芽率均达到有机肥腐熟标准.

- (2)添加钝化剂对重金属钝化效果明显,且复配处理组效果优于单一处理,其中 SNB 组处理对重金属钝化效果最佳.
- (3)投加钝化材料后,堆肥中腐殖类物质较堆肥前显著增加(P<0.05),且复配钝化剂处理下

HA/FA 普遍高于单一处理,多糖小分子物质均增加,芳香结构化降低,显示钝化剂添加在一定程度上促进堆肥效果.

#### 参考文献:

- [1] 仇焕广,廖绍攀,井月,等. 我国畜禽粪便污染的区域差异与发展趋势分析[J]. 环境科学, 2013, **34**(7): 2766-2774. Qiu H G, Liao S P, Jing Y, *et al.* Regional differences and development tendency of livestock manure pollution in China[J]. Environmental Science, 2013, **34**(7): 2766-2774.
- [2] 林源, 马骥, 秦富. 中国畜禽粪便资源结构分布及发展展望[J]. 中国农学通报, 2012, **28**(32): 1-5. Lin Y, Ma J, Qin F. The structure distribution and prospect of China manure resource [J]. Chinese Agricultural Science Bulletin, 2012, **28**(32): 1-5.
- [3] 张辉,李文凤,赵盈盈,等. 猪饲料中重金属对猪粪有机肥的影响[J]. 浙江农业科学, 2018, **59**(11); 2120-2122.
- [4] 王飞, 邱凌, 沈玉君, 等. 华北地区饲料和畜禽粪便中重金属质量分数调查分析[J]. 农业工程学报, 2015, **31**(5): 261-267.
  - Wang F, Qiu L, Shen Y J, et al. Investigation and analysis of heavy metal contents from livestock feed and manure in North China[J]. Transactions of the Chinese Society of Agricultural Engineering, 2015, 31(5): 261-267.
- [5] 候月卿, 沈玉君, 刘树庆. 我国畜禽粪便重金属污染现状及 其钝化措施研究进展[J]. 中国农业科技导报, 2014, 16 (3): 112-118.
  - Hou Y Q, Shen Y J, Liu S Q. Present status of heavy metal pollution from livestock waste and progress on passivation measures [J]. Journal of Agricultural Science and Technology, 2014, 16(3): 112-118.
- [6] Zhang F S, Li Y X, Yang M, et al. Content of heavy metals in animal feeds and manures from farms of different scales in Northeast China [J]. International Journal of Environmental Research and Public Health, 2012, 9(8): 2658-2668.
- [7] 宋伟, 陈百明, 刘琳. 中国耕地土壤重金属污染概况[J]. 水土保持研究, 2013, **20**(2): 293-298.

  Song W, Chen B M, Liu L. Soil heavy metal pollution of cultivated land in China [J]. Research of Soil and Water Conservation, 2013, **20**(2): 293-298.
- [8] 钱雯婕, 袁青锋, 王妙星, 等. 重金属污染对农作物的影响及应对措施[J]. 现代农业科技, 2013, (15); 247, 249.
- [9] 李冉, 赵立欣, 孟海波, 等. 有机废弃物堆肥过程重金属钝化研究进展[J]. 中国农业科技导报, 2018, **20**(1): 121-129.
  - Li R, Zhao L X, Meng H B, et al. Research progress of heavy metal immobilization and its mechanism during composting [J]. Journal of Agricultural Science and Technology, 2018, 20(1): 121-129.
- [10] 候月卿,赵立欣,孟海波,等.生物炭和腐植酸类对猪粪堆肥重金属的钝化效果[J].农业工程学报,2014,30(11):205-215.
  - Hou Y Q, Zhao L X, Meng H B, et al. Passivating effect of biochar and humic acid materials on heavy metals during composting of pig manure [J]. Transactions of the Chinese Society of Agricultural Engineering, 2014, 30(11): 205-215.
- [11] 李冉, 孟海波, 沈玉君, 等. 改性生物炭对猪粪堆肥过程重金属钝化效果研究[J]. 农业环境科学学报, 2018, **37**(10): 2304-2311.
  - Li R, Meng H B, Shen Y J, et al. Immobilization of heavy metals by modified biochar during composting of pig manure [J]. Journal of Agro-Environment Science, 2018,  $\bf 37$  (10): 2304-

- 2311
- [12] 何增明,刘强,谢桂先,等. 好氧高温猪粪堆肥中重金属砷、铜、锌的形态变化及钝化剂的影响[J]. 应用生态学报,2010,21(10):2659-2665.

  He Z M, Liu Q, Xie G X, et al. Changes of heavy metals form during aerobic high temperature composting of pig manure and the effects of passivators[J]. Chinese Journal of Applied Ecology, 2010,21(10):2659-2665.
- [13] 刘甜田,何滨,王亚韩,等. 改进 BCR 法在活性污泥样品重金属形态分析中的应用[J]. 分析试验室,2007,26(S1):17-20.
- [14] 杨坤, 李军营, 杨宇虹, 等. 不同钝化剂对猪粪堆肥中重金属形态转化的影响[J]. 中国土壤与肥料, 2011, (6): 43-48. Yang K, Li J Y, Yang Y H, et al. Effect of passivator on form transformation of heavy metal in composting of pig manure[J]. Soil and Fertilizer Sciences in China, 2011, (6): 43-48.
- [15] 窦森,于水强,张晋京.不同 $CO_2$ 浓度对玉米秸秆分解期间 土壤腐殖质形成的影响[J].土壤学报,2007,44(3);458-466.
  - Dou S, Yu S Q, Zhang J J. Effects of carbon dioxide concentration on humus formation in corn stalk decomposition [J]. Acta Pedologica Sinica, 2007, 44(3): 458-466.
- [16] Bernal M P, Alburquerque J A, Moral R. Composting of animal manures and chemical criteria for compost maturity assessment. A review[J]. Bioresource Technology, 2009, 100 (22): 5444-5453.
- [17] 王磊元,秦翠兰,周岭. 畜禽粪便堆肥过程中传热传质规律研究[J]. 中国农机化学报,2016,37(1):230-234.
  Wang L Y, Qin C L, Zhou L. Study on heat and mass transferduring the cowmanure composting [J]. Journal of Chinese Agricultural Mechanization, 2016,37(1):230-234.
- [18] 丛林. 微生物菌剂对畜禽粪便堆肥过程中养分及腐熟度动态变化规律的研究[D]. 长春:吉林农业大学, 2013.

  Cong L. Study on the dynamic variation rule of nutrient and putrescibility in the process of livestock and poultry manure composting of microbial agents [D]. Changchun: Jilin Agricultural University, 2013.
- [19] Cegarra J, Alburquerque J A, Gonzálvez J, et al. Effects of the forced ventilation on composting of a solid olive-mill by-product ("alperujo") managed by mechanical turning [J]. Waste Management, 2006, 26(12): 1377-1383.
- [20] 姜新有, 王晓东, 周江明, 等. 初始 pH 值对畜禽粪便和菌渣混合高温堆肥的影响[J]. 浙江农业学报, 2016, **28**(9): 1595-1602.

  Jiang X Y, Wang X D, Zhou J M, et al. Effects of initial pH values on maturity and nitrogen loss during co-composting of pig manure and edible fungus residue [J]. Acta Agriculturae
- [21] Zmora-Nahum S, Markovitch O, Tarchitzky J, et al. Dissolved organic carbon (DOC) as a parameter of compost maturity [J]. Soil Biology and Biochemistry, 2005, 37(11): 2109-2116.

Zhejiangensis, 2016, 28(9): 1595-1602.

- [22] 黄向东, 韩志英, 石德智, 等. 畜禽粪便堆肥过程中氮素的 损失与控制[J]. 应用生态学报, 2010, **21**(1): 247-254. Huang X D, Han Z Y, Shi D Z, *et al.* Nitrogen loss and its control during livestock manure composting[J]. Chinese Journal of Applied Ecology, 2010, **21**(1): 247-254.
- [23] 郑瑞生,封辉,李延. 沸石在猪粪堆肥过程中保氮效果研究 [J]. 环境科学学报, 2010, **30**(5): 1017-1022.

  Zheng R S, Feng H, Li Y. Nitrogen conservation in swine manure compost with zeolite usage [J]. Acta Scientiae Circumstantiae, 2010, **30**(5): 1017-1022.
- [24] 鲍艳宇, 周启星, 颜丽, 等. 畜禽粪便堆肥过程中各种氮化

- 合物的动态变化及腐熟度评价指标[J]. 应用生态学报, 2008, 19(2); 374-380.
- Bao Y Y, Zhou Q X, Yan L, et al. Dynamic changes of nitrogen forms in livestock manure during composting and relevant evaluation indices of compost maturity  $[\ J\ ]$ . Chinese Journal of Applied Ecology, 2008, 19(2): 374-380.
- [25] 张树清,张夫道,刘秀梅,等.高温堆肥对畜禽粪中抗生素降解和重金属钝化的作用[J].中国农业科学,2006,39 (2):337-343.
  - Zhang S Q, Zhang F D, Liu X M, et al. Degradation of antibiotics and passivation of heavy metals during thermophilic composting process [J]. Scientia Agricultura Sinica, 2006, 39 (2): 337-343.
- [26] Tiquia S M, Tam N F Y, Hodgkiss I J. Effects of composting on phytotoxicity of spent pig-manure sawdust litter [ J ]. Environmental Pollution, 1996, 93(3): 249-256.
- [27] Zucconi F, Forte M, Monaco A, et al. Biological evaluation of compost maturity[J]. Biocycle, 1981, 22: 27-29.
- [28] 郜斌斌,王选,常瑞雪,等.黏土矿物和化学添加剂对牛粪堆肥过程氮素固持的影响[J].农业工程学报,2018,34(20):250-257.
  - Gao B B, Wang X, Chang R X, et al. Effects of clay and chemical additives on nitrogen retention during cow manure composting [J]. Transactions of the Chinese Society of Agricultural Engineering, 2018, 34(20): 250-257.
- [29] Zorpas A A, Inglezakis V J, Loizidou M. Heavy metals fractionation before, during and after composting of sewage sludge with natural zeolite [J]. Waste Management, 2008, 28 (11): 2054-2060.
- [30] 王玉军, 窦森, 李业东, 等. 鸡粪堆肥处理对重金属形态的影响[J]. 环境科学, 2009, **30**(3): 913-917.

  Wang Y J, Dou S, Li Y D, et al. Speciation change of heavy metals during composting process of chicken manure [J]. Environmental Science, 2009, **30**(3): 913-917.
- [31] 荣湘民, 宋海星, 何增明, 等. 几种重金属钝化剂及其不同添加比例对猪粪堆肥重金属(As, Cu, Zn) 形态转化的影响 [J]. 水土保持学报, 2009, **23**(4): 136-140, 160.
  - Rong X M, Song H X, He Z M, et al. Effect of some heavy mental passivation and its appending proportion on form transformation of heavy mental (As, Cu and Zn) in pig manure compositing [J]. Journal of Soil and Water Conservation, 2009, 23(4): 136-140, 160.
- [32] 黄月娥. 城市污泥 5 种重金属分布特征及其环境风险评价 [D]. 淮南: 安徽理工大学, 2016.

  Huang Y.E. Distribution characteristics and environmental risk
  - Huang Y E. Distribution characteristics and environmental risk assessment of five heavymetals in sewage sludge [D]. Huainan; Anhui University of Science and Technology, 2016.
- [33] 于子旋,杨静静,王语嫣,等. 畜禽粪便堆肥的理化腐熟指标及其红外光谱[J]. 应用生态学报,2016,27(6):2015-2023.
  - Yu Z X, Yang J J, Wang Y Y, et al. Physical and chemical maturity indexes and Fourier transform infrared (FTIR) spectroscopy of animal manures during composting [J]. Chinese Journal of Applied Ecology, 2016, 27(6): 2015-2023.
- [34] Sun Y B, Sun G H, Xu Y M, et al. Assessment of sepiolite for immobilization of cadmium-contaminated soils [J]. Geoderma, 2013, 193-194; 149-155.
- [35] Fatima Z E O, Loubna E F, Laurent L, et al. Evaluation of lignocelullose compost stability and maturity using spectroscopic (FTIR) and thermal (TGA/TDA) analysis [J]. Ecological

- Engineering, 2015, 75: 217-222.
- 李国学, 孟凡乔, 姜华, 等. 添加钝化剂对污泥堆肥处理中重金属(Cu, Zn, Mn)形态影响[J]. 中国农业大学学报, 2000, 5(1): 105-111.

  Li G X, Meng F Q, Jiang H, et al. Studies on the effect of stabilitying materials to the status of heavy metals (Cu, Zn, Mn)

41 卷

- during composting of sewage sludge [J]. Journal of China Agricultural University, 2000, **5**(1): 105-111.

  [37] 王玉军,窦森,张晋京,等.农业废弃物堆肥过程中腐殖质组成变化[J].东北林业大学学报, 2009, **37**(8): 79-81.
- 组成变化[J]. 东北林业大学学报, 2009, **37**(8): 79-81. Wang Y J, Dou S, Zhang J J, *et al.* Changes of humic components during agricultural waste composting[J]. Journal of Northeast Forestry University, 2009, **37**(8): 79-81.
- [38] 卜贵军, 于静, 邸慧慧, 等. 鸡粪堆肥有机物演化对重金属 生物有效性影响研究[J]. 环境科学, 2014, (11): 4352-4358.
  - Bu G J, Yu J, Di H H, et al. Influence of organic matter evolution during composting on the bioavailability of heavy metals [J]. Environmental Science, 2014, (11): 4352-4358.
- [39] Jindo K, Sonoki T, Matsumoto K, et al. Influence of biochar addition on the humic substances of composting manures [J]. Waste Management, 2016, 49: 545-552.
- [40] 马开星, 邹长明, 赵建荣. 鸡粪堆肥腐熟过程中腐熟度参数的变化[J]. 中国农学通报, 2011, 27(3): 289-292.

  Ma K X, Zou C M, Zhao J R. Changes of maturity indexes during the chicken manure composting[J]. Chinese Agricultural Science Bulletin, 2011, 27(3): 289-292.
- [41] Awasthi M K, Awasthi S K, Wang Q, et al. Role of Cabentonite to improve the humification, enzymatic activities, nutrient transformation and end product quality during sewage sludge composting[J]. Bioresource Technology, 2018, 262: 80-80
- [42] 王帅, 窦森, 刘艳丽, 等. 微生物对黑土添加麦秸后腐殖质结构特征影响的红外光谱研究[J]. 光谱学与光谱分析, 2012, **32**(9): 2409-2413.
  Wang S, Dou S, Liu Y L, *et al.* Characterization of soil humus
  - by FTIR spectroscopic analyses after being inoculated with different microorganisms plus wheat straw [J]. Spectroscopy and Spectral Analysis, 2012, 32(9): 2409-2413.
- [43] 宋彩红,李鸣晓,魏自民,等. 初始物料组成对堆肥理化、生物和光谱学性质的影响[J]. 光谱学与光谱分析,2015,35(8):2268-2274.
  - Song C H, Li M X, Wei Z M, et al. Influence of the composition of the initial mixtures on the physicochemi-cal and biological properties and spectral characteristics of composts [J]. Spectroscopy and Spectral Analysis, 2015, 35(8): 2268-2274.
- [44] 张彩华. 光谱法在腐殖质研究中的应用进展[J]. 光谱实验室, 2011, **28**(2): 693-696.

  Zhang C H. Advance of application of spectroscopy in humic substance [J]. Chinese Journal of Spectroscopy Laboratory,

2011, **28**(2): 693-696.

- [45] Zhang R, Wang H X, Liu Q H, et al. Chemical and ultrastructural studies of lignocellulose biodegradation during Agaricus bisporus cultivation [J]. Biotechnology and Applied Biochemistry, 2014, 61(2): 208-216.
- [46] 孙向平. 不同控制条件下堆肥过程中腐殖质的转化机制研究 [D]. 北京: 中国农业大学, 2013.
  - Sun X P. The humans transformation mechanism research during composting under different controlled conditions [D]. Beijing: China Agricultural University, 2013.

## **HUANJING KEXUE**

Environmental Science (monthly)

Vol. 41 No. 1 Jan. 15, 2020

### **CONTENTS**

Spatiotemporal Variations of PM <sub>2.5</sub> Pollution Evolution in China in Recent 20 Years SHI Yan, LIU Rui-mei, I	UO Yi, et al. (	(1)
Characteristics of Aerosol Particulate Concentrations and Their Climate Background in Shanghai During 2007-2016	an-guo, et al. (	(14)
Characteristics and Sources of Elements in PM <sub>2,5</sub> During Summer for Three Typical Cities in Pingdingshan-Suizhou-Wuhan, Central China	•••••	
LIU Wei-jie, SHI Ming-ming, CHENG	Cheng, et al. (	(23)
PM <sub>2.5</sub> Pollution Characteristics During Winter and Summer in the Hohhot-Baotou-Ordos Region, China Li Yi-ming, LiU Jia-yuan, SHI Gu	)-liang, et al. (	(31)
Analysis of Pollution Characteristics and Sources of PM <sub>2.5</sub> During Heavy Pollution in Shijiazhuang City Around New Year's Day 2019		
ZHOU Jing-bo, DUAN Jing-chun, WANG Ji	an-guo, et al. (	( 39 )
Modeling Studies of Source Contributions to PM <sub>2.5</sub> in Chengdu, China	XUE Wen-bo (	(50)
Chemical Characteristics of Arsenic in PM <sub>2.5</sub> in Beijing SHI Shao-xuan, YANG Yan-rong, QIN Jua	n-juan, et al. (	(57)
Pollution Characteristics and Potential Source Contributions of Gaseous Elemental Mercury (GEM) During Summer and Autumn in Ningbo City  YI Hui, LIN Jia-mei, CAI Qi		,
YI Hui, LIN Jia-mei, CAI Qi	ı-liang, et al. (	(65)
Seasonal Characteristics and Source Analysis of Water-Soluble Ions in PM <sub>2.5</sub> of Anyang City	nen-bo, et al. (	(75)
Analysis of Stable Carbon Isotope Characteristics of PM2.5 in Summer and Winter Season in Xinxiang City	ig-wen, et al. (	(82)
Construction and Evaluation on Size Resolved Source Apportionment Methods Based on Particle Size Distribution of Chemical Species LIANG Yong-li, TIAN Ying-ze, LI	Tong, et al. (	(90)
Fine Particulate Emission Characteristics of an Ultra-Low Emission Coal-Fired Power Plant WANG Run-fang, MA Da-wei, JIANG S	hao-yi, et al. (	(98)
Driving Factors of the Significant Increase in Surface Ozone in the Beijing-Tianjin-Hebei Region, China, During 2013-2018	Zhen, et al. (	(106)
Characteristic of Surface Ozone and Meteorological Parameters Analysis in Anyang City YANG Jian, YIN Sha-sha, YU	Shi-jie, et al. (	(115)
Emission Inventory of Intermediate Volatility Organic Compounds from Vehicles in the Yangtze River Delta in 2017 and the Impact on the Formation Potential of Secondary Organ	ic Aerosols	
WANG Qian, HUANG Ling, WANG Ya	ng-jun, et al. (	(125)
Exhaust Smoke of Non-Road Vehicles in Typical Cities of Eastern China	Qiang, et al. (	(133)
Emission Status and Standards of Volatile Organic Compounds from Chinese and Foreign Bulk Petroleum Terminals		( 139 )
Secondary Organic Aerosol Mass Yield and Characteristics from 4-ethylguaiacol Aqueous • OH Oxidation; Effects of Initial Concentration	•••••	
ZHUANG Yu, CHEN Yan-tong, LI X	1-dong, et al. (	( 146 )
Stable Isotope Characteristics and Vapor Source of Precipitation in the South and North Slopes of Wushaoling Mountain	o-feng, et al. (	(155)
Characteristics and Influencing Factors of Stable Hydrogen and Oxygen Isotopes in Groundwater in the Permafrost Region of the Source Region of the Yangtze River	•••••	
WANG Shao-yong, HE Xiao-bo, DING Yo	ıg-jian, et al. (	(166)
Hydrochemical and Isotopic Characteristics of the Lake Balkhash Catchment, Kazakhstan SHEN Bei-bei, WU Jing-lu, Jilili Abuc	luwaili, et al. (	(173)
Effect of a Comprehensive Improvement Project on Water Quality in Urban Lakes; A Case Study of Water Quality Variation in Lihu Lake Over the Past 30 Years	•••••	
TIAN Wei, YANG Zhou-sheng, SHAO Ke	-qiang, et al. (	(183)
Detection Method Distribution and Risk Assessment of Pharmaceuticals and Personal Care Products in the Yellow Sea and the East China Sea		
CHEN Xian, ZHANG Gai-jie, YANG Gu	i-peng, et al. (	( 194 )
Occurrence and Risk Assessment of Organophosphate Esters in Source Water of the Nanjing Section of the Yangtze River LI Dong, ZHANG Sheng-hu, ZHANG	G Qin, et al. (	( 205 )
Spatial Distribution, Spectral Characteristics, and Sources Analysis of Dissolved Organic Matter from Baiyangdian Lake in Xiong'an New District During the Winter Freezing Peri	od	
ZHOU Shi-lei, SUN Yue, ZHANG	Yi-ran, et al. (	(213)
Spatial Characteristics, Risk Assessment, and Source Analysis of Elements in Surface Sediments from the Baiyangdian Lake	El Hao, et al. (	(224)
Distribution Characteristics and Ecological Risk Assessment of Phthalate Esters in Surface Sediments of the Songhua River		
Occurrence Relationship Between Microplastics and Heavy Metals Pollutants in the Estuarine Sediments of Poyang Lake and the Vangtze River		
LI Wen-hua, JIAN Min-fei, LIU	Shu-li, et al. (	(242)
Effect of Ozonation on Microorganism in the Biological Activated Carbon and Disinfection By-Products in the Effluent LIU Bao-ming, WANG Xi-xi, ZHANG X		
Refined Assessment of Exposure and Health Risks of Heavy Metals in Water for the Children in Xigu District, Lanzhou		
Adsorption of Phosphate on Mg/Fe Layered Double Hydroxides (Mg/Fe,LDH) and Use of Mg/Fe,LDH as an Amendment for Controlling Phosphorus Release from Sediments		
WU Jun-lin, LIN Jian-wei, ZHAN Y	an-hui . et al. (	(273)
Characteristics and Mechanism of Monothioarsenate Adsorption on Sand, Sediment, and Goethite	San-xi et al. (	(284)
Substructure Characteristics of Combined Acid-Base Modified Sepiolite and Its Adsorption for Cd( II )	lui-xia, et al. (	(293)
Characteristics of Nitrogen Metabolism by Denitrifying Bacterial Agents in Low Dissolved Oxygen Black Odor Water ZHAO Zhi-rui, LIU Shuo,	J Duo. et al. (	(304)
Metagenomic Analysis of Antibiotic Resistant Bacteria and Resistance Genes in a Pharmaceutical and Chemical Wastewater Treatment Plant		
CHEN Hong-ling, ZHANG Xing-tao, WAN	Oing et al. (	(313)
Measurements of Bacterial Community and Biodiversity from Activated Sludge for a Wastewater Treatment Containing Starch		
Process Control and Operation Optimization of PN-SAD Coupling Process Based on SBR-ABR		
Effects of Intermittent Starvation on the Operation of the SNAD Process  LI Dong, LIU Zhi-cheng, XU		
Nitrogen Removal from Mature Landfill Leachate via Denitrification-Partial Nitritation-ANAMMOX Based on a Zeolite Biological Aerated Filter		( /
CHEN Xiao-zhen, WANG Xiao-jun, Karasuta Chaya	ongkun <i>et al</i> (	(345)
Rapid Achievement of Nitrifying Micro-granular Sludge and Its Nitritation Function	n-fang et al. (	(353)
Effect of On/Off Aeration Time Ratio Under High Frequency On/Off Aeration on Performance of Nitrosated Granular Sludge		
Occurrence Distribution Source and Health Risk Assessment of Polybrominated Dinbertyl Ethers in Surface Soil from the Shen-Fu Region Northeast China		
XIANG Xin-xin, LU Yin-tao, RUAN (	i-vang. et al. (	(368)
Vertical Pollution Characteristics and Sources of Polycyclic Aromatic Hydrocarbons in a Heterogeneous Unsaturated Zone Under a Coking Plant		( 200 )
MENG Xiang-shuai, WU Meng-meng, CHEN Ho	no-han <i>et al</i> (	(377)
Distribution Characteristics of Antibiotic Resistance Genes and Mobile Genetic Elements in Beijing Vegetable Base Soils		
Stoichiometric Characteristics of Purple Sloping Cropland Under Long-term Fertilization and Cultivation		
Ecological Stoichiometry of Carbon, Nitrogen, and Phosphorus in Subtropical Paddy Soils Song Jia-ling, SHENG Hao, ZHO	I Ping et al. (	( 403 )
Denitrification and Anaerobic Ammonium Oxidation in Soil Nitrogen Migration Process in a Farmland of Wanshandang Lake		
Effects of Straw Biochar on Soil Microbial Metabolism and Bacterial Community Composition in Drip-irrigated Cotton Field		
Source Appointment of Heavy Metals in Agricultural Soils of the Jiulong River Basin Based on Positive Matrix Factorization		
Spatial Distribution of Soil Arsenic and Arsenic Enrichment in Crops in the Oasis Region of the Southeastern Tarim Basin  CHEN Yun-fei, ZHOU Jin-long, ZENG Y	an-van ot al	( 438 )
Bioavailability, Translocation, and Accumulation Characteristic of Heavy Metals in a Soil-Crop System from a Typical Carbonate Rock Area in Guangxi, China	yan, et ut. (	( 00.7
Bioavanability, Translocation, and Accumulation Characteristic of Heavy Metals in a Soil-Crop System from a Typical Carbonate Rock Area in Guangxi, China  MA Hong-hong, PENG Min, I	III Fai at al /	( 440 )
Effects of Different Amendments on Fractions and Uptake by Winter Wheat in Slightly Alkaline Soil Contaminated by Cadmium and Nickel	io rei, ei al. (	( <del>11</del> 7 )
Effects of Different Amendments on Fractions and Optake by Winter Wheat in Stigntly Alkaline Soil Contaminated by Cadmium and Nickel  ZHANG Jing-jing, ZHU Shuang-ge, ZHU	Li-non at al. (	( 460 )
Effect of Different Passivating Agents on the Stabilization of Heavy Metals in Chicken Manure Compost and Its Maturity Evaluating Indexes		( 400 )
Effect of Different Passivating Agents on the Stabilization of Heavy Metals in Chicken Manure Compost and its Maturity Evaluating Indexes  LUAN Run-yu, GAO Shan, XU Yin	mine at al /	( 460 )
Response of Soil Respiration and Its Components to Nitrogen and Phosphorus Addition in Farming-Withdrawn Grassland in the Semiarid Loess Hilly-Gully Region		( 409 )
Response of Soil Respiration and its Components to Nitrogen and Phosphorus Addition in Farming-Withdrawn Grassland in the Semiarid Loess Hilly-Gully Region  ZHOU Jun-jie, CHEN Zhi-fei, YANG	Ouer of 1 /	( 470 \
Subsequent Effects of Slag and Biochar Application on Greenhouse Gas Emissions from Paddy Fields in the Fuzhou Plain LAN Xing-fu, WANG Xiao-tong, ZHOU	ra-xiii, et ai. (	(サログ )